

Performance Comparision of Information Value and Density Area Methods for Spring Existence Potential in Ghurchay Watershed, Golestan Province

Hossein Salmani¹, Kazem Saber Chenari^{*1}, Mohammad Rostami Khalaj², Omid Jahandideh³

Abstract

Developing a suitable model for effective management and sustainable use of groundwater resources is critical and prepared springs potential map allows us to provide extractable water by spending less time and cost. In this study, the Gharechay watershed was selected with 248.1 km² area. Then distribution map of springs (dependent variable) was prepared. Also information layers as slope direction, slope gradient, slope length (SL), profile curvature, curvature of plain, topographic wet index (TWI), stream power index (SPI), geology, fault density, distance to fault, elevation, drainage density, distance from river, land use, distance from the road, soil texture, soil hydrologic group and vegetation density as the independent variables were prepared and digitized in GIS environment. Of the combination of independent variables and the dependent variable, the value of spring in each class was calculated and weighted classes based on the Information Value and Density area of statistical models were used. Finally, with the obtained weighted maps and their summation the spring zonation map in two models were obtained. The results of the models using the Relative Operating Characteristic (ROC), and Quality Sum (Qs) showed that the information value method with ROC=0.981 and Qs=0.488 than the density area with ROC=0.851 and Qs=0.459 was appropriate for zoning resources ground water springs in this area. Also, based on the information value and density area methods 94.1% and 65/51%, respectively, of the study area were high and very high potential to have an incidence springs.

Keywords: Density Area, Gharechay, Information Value, Spring, Zoning.

Received: 2015/11/19
Accepted: 2016/02/24

1- PhD Student of Watershed management engineering, Gorgan University of agricultural sciences and natural resources. Email: hsalmani@alumni.ut.ac.ir.
2- PhD Student of Watershed management engineering, Faculty of Natural Resources, University of Tehran.
3- M.sc Graduate of irrigation and drainage, Gorgan University of agricultural sciences and natural resources.

*- Corresponding Author

مقایسه عملکرد روش‌های ارزش اطلاعات و تراکم سطح در ارزیابی پتانسیل وجود چشمه‌ها در حوزه آبخیز قورچای، استان گلستان

حسین سلمانی^۱، کاظم صابر چناری^{*۱}، محمد رستمی خلچ^۲، امید جهاندیده^۳

چکیده

توسعه یک مدل مناسب پتانسیل آب زیرزمینی برای مدیریت مؤثر و استفاده پایدار از منابع آب زیرزمینی بسیار حیاتی است و نقشه پتانسیل چشمه‌ها تهیه شده به ما اجازه می‌دهد تا آب قابل استفاده را با صرف زمان و هزینه کمتری تهیه کنیم. در این تحقیق ابتدا حوزه قورچای به وسعت حدود ۲۴۸/۱ کیلومترمربع انتخاب شد. سپس نقشه پراکنش چشمه (متغیر وابسته) تهیه گردید. همچنین لایه‌های اطلاعاتی جهت شیب، درجه شیب، طول شیب، انحنای پروفیل، انحنای دشت، شاخص رطوبت توپوگرافیکی، شاخص قدرت رودخانه، زمین‌شناسی، تراکم گسل، فاصله از گسل، ارتفاع، تراکم زهکشی، فاصله از رودخانه، کاربری اراضی، فاصله از جاده، بافت خاک، گروه هیدروژئوکی خاک و تراکم پوشش گیاهی به عنوان متغیر مستقل در محیط سیستم اطلاعات جغرافیایی تهیه و رقومی شدند. از تأثیرگذاری متغیرهای مستقل با متغیر وابسته، مقدار چشمه در هر کلاس عامل محاسبه و وزن دهنده طبقات بر اساس روابط موجود در مدل‌های آماری ارزش اطلاعاتی و تراکم سطح صورت گرفت. در نهایت با نقشه‌های وزنی حاصله و جمع جبری آن‌ها نقشه پهنه‌بندی پتانسیل چشمه در دو مدل حاصل شد. نتایج ارزیابی مدل‌ها بترتیب با استفاده از مشخصه عملکرد نسبی و جمع کیفی نشان داد که در روش ارزش اطلاعاتی با مقادیر ۰/۹۸۱ و ۰/۴۸۸ نسبت به روش تراکم سطح با مقادیر ۰/۰۵۹ و ۰/۰۱۵ می‌باشد. همچنین بر اساس روش‌های ارزش اطلاعاتی و تراکم مناسب‌تر است. همچنین سطح به ترتیب ۹۴/۱٪ و ۶۵/۵۱٪ از محدوده مورد مطالعه، استعداد بالا و خیلی بالایی برای وقوع چشمه دارند.

واژه‌های کلیدی: ارزش اطلاعاتی، پهنه‌بندی، تراکم سطح، چشمه، قورچای.

تاریخ دریافت مقاله: ۱۳۹۴/۰۱/۲۸
تاریخ پذیرش مقاله: ۱۳۹۴/۱۲/۰۵

۱- دانشجوی دکترا آبخیزداری، دانشگاه علوم کشاورزی و منابع طبیعی گرگان.

۲- دانشجوی دکترا آبخیزداری، دانشکده منابع طبیعی، دانشگاه تهران.

۳- دانشجوی کارشناسی ارشد آبیاری و زهکشی، دانشگاه علوم کشاورزی و منابع طبیعی گرگان.

* نویسنده مسئول

مقدمه

سنجهش از دور برای تولید نقشه‌های لیتوژئوژی و خطواره و مدل رقومی ارتفاع برای پهنه‌بندی خطواره و ژئومورفولوژیکی مورد استفاده قرار گرفت. تمامی لایه‌های موضوعی در سیستم اطلاعات جغرافیایی با یکدیگر ترکیب و مورد تجزیه و تحلیل قرار گرفت. قابلیت بالای تکنیک‌های سنجهش از دور و سیستم اطلاعات جغرافیایی نشان داد که این تکنیک‌ها می‌توانند به عنوان ابزارهایی با پتانسیل بالا برای مطالعه منابع آب زیرزمینی و در طراحی پروژه‌ها مورد استفاده قرار بگیرند. ازدمیر (۲۰۱۱) برای تهیه نقشه پتانسیل آب زیرزمینی مناطق کوهستان سلطان ترکیه در محیط سیستم اطلاعات جغرافیایی از روش‌های نسبت فراوانی^۲، وزن نشانگر^۳ و رگرسیون لجستیک^۴ استفاده نمود. برای تهیه این نقشه ارتباط بین موقعیت چشمه‌های آب زیرزمینی و ۱۷ پارامتر مؤثر مورد بررسی قرار گرفت. قابلیت پیش‌بینی هر مدل با استفاده از مساحت زیر منحنی ROC^۵ برای روش‌های نسبت فراوانی، وزن نشانگر و رگرسیون لجستیک به ترتیب ۰/۹۰۳، ۰/۸۸۰ و ۰/۸۴۰ بدست آمد. نتایج نشان داد که مدل‌های نسبت فراوانی و وزن نشانگر برآورده کننده‌های نسبتاً خوب و رگرسیون لجستیک برآورده کننده نسبتاً ضعیف در تخمین نقشه پتانسیل آب زیرزمینی در منطقه مورد مطالعه هستند. هامموری (۲۰۱۲) در تهیه نقشه پتانسیل آب زیرزمینی مناطق مرکزی اردن از تکنیک‌های ترکیبی سنجهش از دور و سیستم اطلاعات جغرافیایی استفاده نمودند و تأثیر مجموعه‌ای از پارامترهای توپوگرافیکی، زمین‌شناسی و هیدروژئوژیکی را که در ظهور طبیعی آب زیرزمینی نقش دارند را بررسی نمودند. در نهایت نقشه پتانسیل آب زیرزمینی در سه کلاس شامل مناطقی با پتانسیل آب زیرزمینی بالا (۷/٪)، متوسط (۷۹/٪) و پایین (۱۴/٪) طبقه‌بندی شد. همچنین آنالیز حساسیت پارامترها نشان داد که شبیه مؤثرترین پارامتر مورد استفاده در تهیه نقشه پتانسیل آب زیرزمینی می‌باشد. نتایج مطالعات آرکوپرو (۲۰۱۲) در شناسایی مناطق پتانسیل آب زیرزمینی منطقه گانجام هند از نقشه‌های موضوعی مختلف شامل نقشه‌های ژئومورفولوژیکی، زمین‌شناسی، شبیه، تراکم

2- Frequency Ratio

3- Weights of Evidence

4- Logistic Regression

5- Relative Operating Characteristics

چشمه‌ها محل تلاقی سفره‌های زیرزمینی با سطح زمین و تخلیه طبیعی آب زیرزمینی هستند که به صورت متمرکر خمده و هر جا که سطح ایستابی سطح زمین را قطع نماید آب به صورت جریان سطحی تخلیه می‌شود. چشمه‌ها منابع آبی مهم در سطح کشور ما می‌باشند که شناخت وضعیت هیدروژئوژیکی آن‌ها در بهره‌برداری و مدیریت چشمه‌ها الزامی می‌باشد (جوکار و همکاران، ۱۳۸۸). پهنه‌بندی پتانسیل چشمeh آب زیرزمینی برای مطالعه رابطه بین توزیع چشمه‌ها و عوامل مؤثر بر آن ضروری می‌باشند (پورقاسمی و همکاران، ۲۰۱۴). برای تهیه نقشه پتانسیل چشمeh آب زیرزمینی ضروری است تا عوامل مختلف مؤثر بر چشمه‌های موجود در منطقه مورد بررسی قرار گیرد (ازدمیر، ۲۰۱۱). عوامل بسیاری وجود چشمeh و مسیر جریان آب زیرزمینی را کنترل می‌کنند که از جمله این عوامل می‌توان به عوامل توپوگرافی، سنگ‌شناسی، ساختاری، درجه هوایی، میزان شکستگی، نفوذپذیری، شبیه، الگوی زهکشی، کاربری اراضی، پوشش زمین و آب و هوا اشاره نمود (ازدمیر، ۲۰۱۱؛ یه و همکاران، ۲۰۰۸). در ارتباط با پهنه‌بندی آب زیرزمینی در خارج و داخل کشور پژوهش‌های متعددی صورت گرفته است. نتایج مطالعات صابری و همکاران (۱۳۹۱) در تهیه نقشه پتانسیل منابع آب زیرزمینی تاقدیس کمستان استان خوزستان با استفاده از روش تحلیل سلسله مراتبی نشان داد که این منطقه دارای پتانسیل خیلی خوب و خوبی برای استخراج آب زیرزمینی دارد. همچنین دقت روش تحلیل سلسله مراتبی در منطقه مورد مطالعه بالا ارزیابی گردید. نتایج مطالعات عرفانیان و همکاران (۱۳۹۲) در تهیه نقشه پتانسیل چشمeh آب زیرزمینی حوزه آبخیز چهل گزی، استان کردستان با استفاده از مدل نسبت فراوانی نشان داد که این مدل دقت قابل قبول در منطقه مورد مطالعه داشت و میزان مساحت زیر منحنی برای منحنی مشخصه عملکرد نسبی^۱ در منطقه مورد مطالعه ۶۵/٪ بدست آمد. دار و همکاران (۲۰۱۰) برای پهنه‌بندی پتانسیل آب زیرزمینی حوزه ماموندیار هندوستان از تکنیک‌های یکپارچه سنجهش از دور، سیستم اطلاعات جغرافیایی، ارزشیابی مدل رقومی ارتفاع و عملیات میدانی استفاده نمودند. داده‌های

1- Relative Operating Characteristic

در این بررسی کارایی دو مدل ارزش اطلاعاتی^۲ و تراکم سطح^۳ در پهنه‌بندی پتانسیل چشمه‌ها در حوضه آبخیز قورچای رامیان مورد ارزیابی و مقایسه قرار می‌گیرد. خروجی این مطالعه تکنیک‌های جامع و حمایت‌کننده‌ای برای سازمان‌های دولتی و بخش خصوصی در شناسایی و ارزیابی مناطق مناسب آب زیرزمینی فراهم می‌کند.

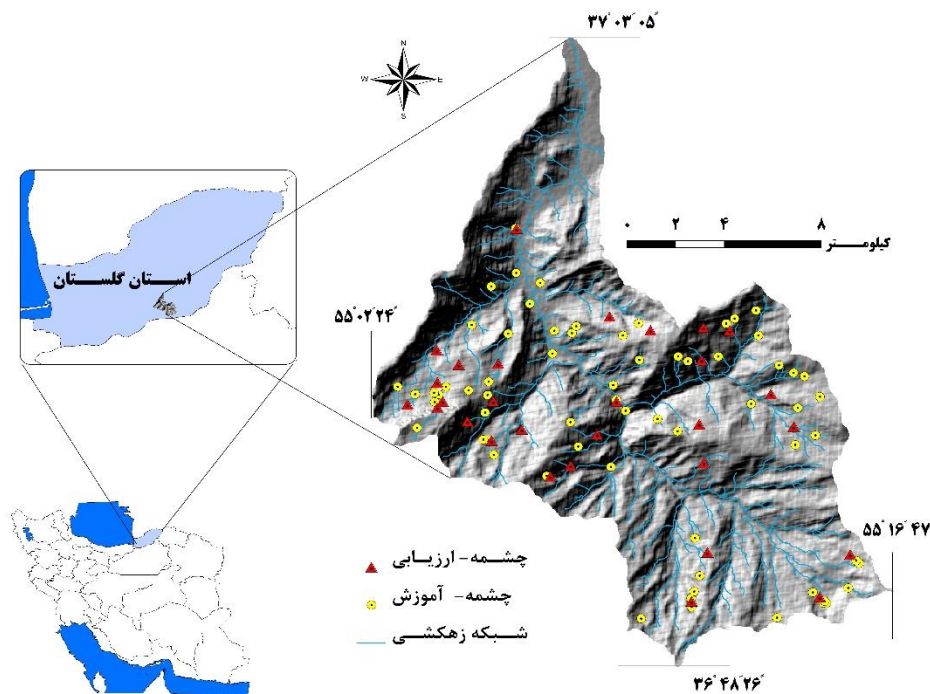
مواد و روش‌ها منطقه مورد مطالعه

حوزه آبخیز قورچای بخشی از حوزه اصلی و مهم حوزه گرگان رود در استان گلستان می‌باشد که در چین خورده‌گی‌های شمالی سلسله جبال البرز و در جنوب شهرستان رامیان قرار گرفته است. مساحت این حوزه بالغ بر ۲۴۸/۱ کیلومتر مربع، محیط آن ۹۰/۹۹۸ کیلومتر و طول حوزه ۳۱۰/۴ کیلومتر می‌باشد و در طول جغرافیایی^۴ ۵۵°۰۲'۰۰ تا^۵ ۳۶'۴۷'۰۵'۰۰ شرقی و عرض جغرافیایی^۶ ۴۸°۲۶'۰۰ تا^۷ ۳۷°۰۳'۰۰ شمالی واقع شده است (شکل ۱). روند کلی جريان آب زیرزمینی جنوبی- شمالی بوده و بهره‌برداری از منابع آب زیرزمینی در این منطقه از طریق چشمه و چاه صورت می‌گیرد. رودخانه اصلی حوزه ۳۵/۴۱ کیلومتر طول دارد و از قسمت‌های کوهستانی جنوب حوزه سرچشمه گرفته و از شهر رامیان واقع در شمال حوزه خارج می‌گردد. فرم آبراهه‌ها بر اساس نقشه‌های تهیه شده و الکوهای استاندارد عمدتاً جزو شبکه شاخه درختی و موازی می‌باشد. تراکم زهکشی رودخانه‌ها ۲/۳۱ و ساختار تقریب برای آبراهه اصلی حوزه ۴/۷۲۰ می‌باشد که نشان‌دهنده مقعر بودن پروفیل طولی آبراهه است. شکل، حوزه به صورت کشیده می‌باشد به طوری که ضربی شکل، ضربی گراولیوس (ضربی فشرده‌گی)، ضربی گردی و ضربی کشیدگی حوزه به ترتیب ۰/۲۶، ۱/۶۲، ۰/۳۸ و ۰/۵۷ می‌باشد. دامنه ارتفاعی این حوزه از ۲۸۲۰ متر در مناطق کوهستانی تا ۱۳۴ متر در مناطق دشتی متغیر است. عمده کاربری اراضی در حوضه مذکور کاربری‌های جنگل و زراعت به ترتیب با ۷۴/۴۵ و ۱۳/۸۶ درصد می‌باشد. درجه حرارت متوسط سالانه و بارش متوسط سالانه حوزه به ترتیب ۱۷/۵ درجه سانتی‌گراد و ۵۱۸/۸ میلی‌متر است.

زهکشی و تراکم خط استفاده نمودند و منطقه را از نظر پتانسیل آب زیرزمینی به پنج دسته عالی، خیلی خوب، خوب، متوسط، و ضعیف تقسیم کردند. نتایج نشان داد که عمده منطقه مورد مطالعه پتانسیل آب زیرزمینی خوب و متوسط داشت و مناطق با پتانسیل پایین خیلی کم بود. همچنین مناطق پتانسیل عالی عمدتاً در مناطق خط ساحلی متمرکز شده بودند. داودی مقدم (۲۰۱۳) برای تهیه نقشه پتانسیل آب زیرزمینی حوزه آبخیز طالقان از مدل آماری دو متغیره نسبت فراوانی و تکنیک سیستم اطلاعات جغرافیایی استفاده نمودند و رابطه مکانی ۳۲۰ چشمه موجود در منطقه و ۱۴ عامل مؤثر بر آن را مورد بررسی قرار دادند. نتایج ارزیابی مدل نشان داد که مدل نسبت فراوانی با مساحت زیر منحنی^۱ مشخصه عملکرد نسبی برابر ۷۵/۹۹٪ عملکرد نسبتاً خوبی در پیش‌بینی پتانسیل چشمه آب زیرزمینی دارد. کالیراج و همکاران (۲۰۱۴) توانایی تکنیک تحلیل سلسله مراتبی در محیط نرم‌افزار سیستم اطلاعات جغرافیایی را در شناسایی مناطق پتانسیل تغذیه آب زیرزمینی حوزه آبخیز واگذار کردند. عوامل مؤثر مورد بررسی شامل خصوصیات سطح زمین از جمله زمین-شناسی، ژئومورفولوژی، نوع خاک، کاربری اراضی، پوشش زمین، شبکه زهکشی، خطواره و آبخوان بودند. نتایج نشان داد که روش تحلیل سلسله مراتبی توانایی زیادی در پیش‌بینی مناطق پتانسیل آب زیرزمینی دارد. همچنین بررسی‌ها نشان داد که ۲۱/۸ کیلومتر مربع از منطقه دارای پتانسیل تغذیه آب زیرزمینی بالا هستند و مناطق با شبکه ملاتیمن مناطق مناسب و مناطق تپه ماهوری مناطق نامناسب برای تغذیه مصنوعی آب زیرزمینی در نظر گرفته شد. سجاد و همکاران (۲۰۱۴) برای شناسایی مناطق پتانسیل آب زیرزمینی حوزه‌ای در هندوستان تکنیک جامع ژئوفیزیک و ژئوفضایی را به کار برداشتند. این بررسی که تأثیر اطلاعات زمین‌شناسی، توپوگرافی و خصوصیات ژئوفیزیک را بر منابع آب زیرزمینی مورد بررسی قرار داد نشان داد که مناطق دشتی مناطق مناسب برای پتانسیل آب زیرزمینی در آینده هستند و می‌توانند در طرح‌ریزی و مدیریت منابع زمین مفید باشند.

2- Statistical Index or Information Value
3- Density Area

1- Area Under the Curve



شکل ۱- موقعیت منطقه مورد مطالعه

تراکم زهکشی، فاصله از رودخانه، کاربری اراضی، فاصله از جاده، بافت خاک، گروه هیدروژئیکی خاک و تراکم پوشش گیاهی با اندازه پیکسل 30×30 متر تمامی آنها به فرمت رستری تبدیل شدند. آنگاه با استفاده از نرمافزار SPSS در حدود ۷۰٪ چشمه‌ها (۶۸ چشمه) به صورت تصادفی برای مرحله آموزش و 30 درصد باقی مانده (۲۹ چشمه) برای ارزیابی مدل‌ها مورد استفاده قرار گرفت (لی و همکاران، ۲۰۱۲؛ منابع و همکاران، ۲۰۱۴؛ پورقادسی و همکاران، ۲۰۱۴). در مرحله بعد نقشه هر یک از عوامل مؤثر در وقوع چشمه در محیط ArcGIS ۹.3 با نقشه پراکنش چشمه‌ها تلفیق و تعداد چشمه در هر طبقه به دست آمد.

طول شیب

دو مؤلفه اصلی شیب منطقه شامل طول شیب (L) و سراسیبی شیب (S) می‌باشد. عامل ترکیبی طول-شیب توسط معادله پیشنهاد شده مور و برانج (۱۹۸۶) به صورت زیر محاسبه می‌شود:

$$LS = \left(\frac{B_s}{22.13} \right)^{0.6} \left(\frac{\tan \beta}{0.0896} \right)^{0.6} \quad [1]$$

روش تحقیق

با استفاده از گزارشات موجود از سازمان آب منطقه‌ای، سازمان منابع طبیعی و آبخیزداری استان گلستان و کنترل زمینی، ۹۷ چشمه در حوزه قورچای ثبت و وارد نرمافزار ArcGIS ۹.3 گردید و نقشه پراکنش آنها تهیه شد (شکل ۱). همچنین نقشه پستی و بلندی با مقیاس ۱:۲۵۰۰۰ سازمان جغرافیایی نیروی مسلح، نقشه خاک‌شناسی با قدرت تفکیک مکانی 30×30 متر سازمان منابع طبیعی و آبخیزداری استان گلستان، نقشه زمین‌شناسی ۱:۱۰۰۰۰ سازمان زمین‌شناسی کشور، نقشه کاربری اراضی منطقه از طریق تصاویر ماهواره‌ای ETM⁺ مورد استفاده قرار گرفتند. همچنین نقشه مدل رقومی ارتفاع با قدرت تفکیک مکانی 30×30 متر از نقشه توپوگرافی ۱:۲۵۰۰۰ ایجاد شد سپس نقشه جهت شیب، درجه شیب، طول شیب^۱، انحنای پروفیل، انحنای دشت، شاخص رطوبت توپوگرافیکی^۲ و شاخص قدرت رودخانه^۳ از مدل رقومی ارتفاع ساخته شد (داودی‌مقدم، ۲۰۱۳؛ ازدمیر، ۲۰۱۱). بعد از تهیه نقشه‌های زمین‌شناسی، تراکم گسل، فاصله از گسل، ارتفاع،

1- Slope Length
2- Topographic Wetness Index
3- Stream Power Index

شاخص قدرت رودخانه

شاخص قدرت رودخانه معیاری برای قدرت فرسایندگی رودخانه و همچنین بررسی عواملی است که در پایداری منطقه مورد مطالعه موثر هستند. این شاخص بر اساس معادله ۳ تعریف می شود (مور و همکاران، ۱۹۹۱؛ داودی مقدم و همکاران، ۲۰۱۲؛ نقیبی و همکاران، ۲۰۱۴) :

$$SPI = B_s \tan \beta \quad [3]$$

که در آن: B_s مناطقی که تحت تأثیر جریان های تجمعی هستند و β گرادیان شیب بر حسب درجه می باشد.

به منظور تعیین نقشه طول شیب، شاخص رطوبت SAGA GIS 2.0.2 استفاده شد.

انحنای دشت و پروفیل

شكل انحنا توصیف کننده سطح افقی توپوگرافی بوده و نشان دهنده پستی و بلندی محلی است (آیالیو و یاماگیشی، ۲۰۰۵). انحنای دشت، اندازه تغییر جهت در طول یک منحنی میزان را نشان داده و بیانگر واگرایی و همگرایی توپوگرافیکی است. (پورقاسمی و بهشتی-راد، ۲۰۱۴). شکل انحنا دارای ۳ حالت دارد: در حالت اول مقادیر جدول نقشه دارای ارزش مثبت می باشند که نشان دهنده سطح محدب دامنه و جریانهای همگرا است. در حالت دوم مقادیر جدول دارای ارزش منفی است که نشان دهنده سطح تقرع دامنه و جریانهای واگرا بوده و در حالت آخر مقدار صفر نشان دهنده سطح صاف است (هی و همکاران، ۲۰۱۲؛ داودی مقدم و همکاران، ۲۰۱۳). انحنای پروفیل معرف اندازه تغییر شیب منحنی میزان ها در طول مسیر یک جریان است. این شاخص نشان دهنده تغییر پتانسیل گرادیان شیب بوده و تغییرات شدت جریان آب و فرآیندهای حمل و رسوب را کنترل می کند. مقادیر این شاخص در ۳ دسته محدب (شیب های کوژ و مثبت)، مقرر (شیب های کاو و منفی) و تخت طبقه بندی شدند(نقیبی و پورقاسمی، ۲۰۱۴). این دو شاخص نیز از طریق اکستنشن DEM Surface Tools محاسبه گردید.

کاربری اراضی و گسل

با توجه به نقش بالای کاربری اراضی (عمده کاربری اراضی منطقه به صورت جنگلی می باشد بدین لحاظ نقش کاربری اراضی هم به صورت نوع کاربری اراضی و هم تراکم

که در اینجا B_s مناطقی که تحت تأثیر جریان های تجمعی هستند و $\sin \alpha$ مقدار شیب در هر پیکسل می باشد (شکل ۱۴-۴). در حقیقت LS مقیاسی از ظرفیت انتقال رسوب برای جریان سطحی است که در معادله جهانی فرسایش خاک (USLE) گنجانیده شده است (ویشمایر و اسمیت، ۱۹۷۸) (داودی مقدم و همکاران، ۲۰۱۳) (پورقاسمی و بهشتی راد، ۲۰۱۴) (نقیبی و همکاران، ۲۰۱۴). هر چه قدر طول شیب بزرگ تر باشد رطوبت بیشتری در پایین دامنه تجمع یافته و باعث افزایش فرسایش می شود (پورقاسمی و همکاران، ۲۰۱۲).

شاخص رطوبت توپوگرافی

عمدتاً نفوذ آب وابسته به خصوصیات مواد سطحی از جمله نفوذپذیری و فشار آب منفذی است از این رو این شاخص به عنوان یک فاکتور موثر در این مطالعه در نظر گرفته شده است (داودی مقدم و همکاران، ۲۰۱۳؛ نقیبی و همکاران، ۲۰۱۴). در حقیقت این عامل بیانگر شاخص توپوگرافی ثانویه ای است که نشان دهنده تأثیر پراکنش رطوبت خاک و جریان آب زیر زمینی در سطح توپوگرافی می باشد (مور و همکاران، ۱۹۹۱؛ داودی مقدم و همکاران، ۲۰۱۳). این شاخص یکی از شاخص هایی است که به طور گسترده برای ارزیابی کمی عامل توپوگرافی بر روی فرایندهای هیدرولوژیکی و توصیف تأثیر توپوگرافی روی موقعیت و اندازه مناطق منبع اشباع تولید رواناب (بون و فریر، ۲۰۰۱) و رطوبت خاک و جریان آب زیر زمینی (نقیبی و همکاران، ۲۰۱۴) مورد استفاده قرار می گیرد که به صورت معادله ۲ بیان می شود (مور و همکاران، ۱۹۹۱) :

$$TWI = \ln \left(\frac{B_s}{\tan \beta} \right) \quad [2]$$

که در اینجا a = مساحت مناطق تجمعی زهکش در بالا دست شیب در هر نقطه و $\tan \beta$ = مقدار شیب در هر نقطه می باشد. تمایل آب برای تجمع در هر نقطه از حوزه (a) و تمایل نیروی گرانشی برای حرکت دادن آب به سمت پایین دست شیب (نشان داده شده به صورت β در نتیجه شیب هیدرولوژیکی تقریبی) از طریق شاخص رطوبت توپوگرافی منعکس می شود (پودیال و همکاران، ۲۰۱۰؛ نقیبی و همکاران، ۲۰۱۴).

پتانسیل چشمه می‌شود. روش شاخص آماری معیاری جهت تراکم چشمه‌ها است و بر اساس لگاریتم طبیعی تراکم چشمه‌ها در هر کلاس به تراکم چشمه‌های کل نقشه می‌پردازد (روتلا و همکاران، ۲۰۰۰). رابطه آن‌ها به صورت زیر است:

$$SI = \ln \left(\frac{Densclass}{Densmap} \right) = \ln \left[\frac{\frac{Npix(S_i)}{Npix(N_i)}}{\frac{SNpix(S_i)}{SNpix(N_i)}} \right] \quad [4]$$

که در آن، SI : وزن هر یک از کلاس‌ها در نقشه؛ $Densclass$: تراکم چشمه در هر یک از کلاس‌ها؛ $Densmap$: تراکم چشمه در کل نقشه؛ $Npix(S_i)$: تعداد پیکسل‌های چشمه در یک کلاس مشخص؛ $Npix(N_i)$: تعداد پیکسل‌های چشمه در یک کلاس مشخص؛ $SNpix(S_i)$: تعداد کل پیکسل‌های چشمه نقشه و $SNpix(N_i)$: تعداد کل پیکسل‌های چشمه است. با توجه به رابطه ۴ هر طبقه دارای وزن مخصوصی شده است. هر چه میزان وزن اکتسابی به هر طبقه بیشتر باشد نشان‌دهنده ارتباط بهتر آن عامل در موقع چشمه است (شیرانی و سیف، ۱۳۹۰). در روش تراکم سطح نیز مانند روش ارزش اطلاعاتی نرخ مربوط به هر یک از کلاس‌های عوامل مختلف به صورت زیر بدست می‌آید (کریمی و همکاران، ۱۳۹۰) :

$$Wa = 1000 \left(\frac{Npix(S_i)}{Npix(N_i)} \right) 1000 \left(\frac{SNpix(S_i)}{SNpix(N_i)} \right) \quad [5]$$

که در آن، Wa : وزن هر یک از کلاس‌ها در نقشه؛ $Npix(S_i)$: تعداد پیکسل‌های چشمه در یک کلاس مشخص؛ $Npix(N_i)$: تعداد پیکسل‌های در یک کلاس مشخص؛ $SNpix(S_i)$: تعداد کل پیکسل‌های چشمه نقشه و $SNpix(N_i)$: تعداد کل پیکسل‌های نقشه است.

در مرحله بعد برای محاسبه شاخص پتانسیل آب زیرزمینی در روش شاخص آماری و تراکم سطح مقادیر SI یا Wa تمامی طبقات در دوره آموزش در محیط ArcGIS 9.3 روی هم قرار گرفته و با استفاده از رابطه ۶ شاخص پتانسیل آب زیرزمینی بدست آمد:

$$GSPI = \sum (SI \times Wa)_i \quad (i=1,2,\dots,n) \quad [6]$$

که در آن $GSPI$ نشان‌دهنده شاخص پتانسیل حضور چشمی آب زیرزمینی، SI شاخص آماری هر عامل، Wa تراکم

پوشش گیاهی به صورت جداگانه لحاظ شده است) و gsl در ظهور چشمه‌ها هر دو عوامل تراکم gsl و فاصله از gsl و کاربری اراضی و تراکم پوشش گیاهی تواما با یکدیگر در این مطالعه لحاظ شده اند (نقیبی و همکاران، ۲۰۱۴؛ ازدمیر و آلتورال، ۲۰۱۴؛ پور قاسمی و بهشتی راد، ۲۰۱۴؛ جیاپ پرابها و همکاران، ۲۰۱۴). از آنجایی که gsl ‌ها در تنذیه و هدایت آب زیرزمینی (چشمه) منطقه مورد مطالعه نقش زیادی دارند. در این تحقیق سعی شده از ۲ لایه فاصله از gsl و تراکم gsl استفاده شود. تاثیر معیارها با توجه ماهیت آن‌ها می‌تواند متفاوت می‌باشد. به گونه‌ای که هر چه از فاصله از gsl بیشتر باشد، احتمال وجود آب زیرزمینی بیشتر خواهد بود. بنابراین فاصله‌های کمتر، از اهمیت بالایی برخوردار هستند. تراکم بالای gsl ‌ها نیز می‌توانند معرف تکتونیزه شدن بیشتر (گسله‌شدن) منطقه باشد. پوشش گیاهی نیز در منطقه مورد مطالعه اهمیت بسزایی بر نفوذ و تبخیر و فرسایش دارد. در مناطق خشک و نیمه خشک آب سطحی بسیار محدود است. بنابراین پوشش گیاهی نمایان‌گر خوبی از آب‌های زیرزمینی است. هر چه پوشش گیاهی منطقه بیشتر باشد فرصت نفوذ بیشتری فراهم بوده لذا در مناطق با پوشش گیاهی متراکم پتانسیل آب زیرزمینی بیشتر می‌باشد.

به طوری کلی انتخاب نوع عوامل موثر در ظهور یک پدیده از قبیل چشمه، قنات، زمین لغزش، زلزله و ... با توجه به شرایط مختلف منطقه مورد مطالعه متفاوت می‌باشد و در مطالعات مختلف صورت گرفته در این زمینه محققین عوامل مختلفی را در نظر گرفته‌اند. در این مطالعه سعی گردید که براساس مطالعه محققین قبلی و شرایط موجود در منطقه، مطالعه جامعی در زمینه عوامل موثر در موقع چشمه صورت گیرد.

وزن دهی عوامل بر اساس روش شاخص آماری یا ارزش اطلاعاتی و تراکم سطح

بهمنظور تجزیه و تحلیل عوامل مؤثر در ظهور چشمه‌ها از مدل‌های ارزش اطلاعاتی و تراکم سطح به عنوان مهم‌ترین ابزار مفهومی این تحقیق استفاده شده است. روش شاخص آماری یا ارزش اطلاعاتی توسط ین و یان (۱۹۸۸) ابداع شده است. در این روش با توجه به متغیرهای مؤثر در رخداد چشمی با پراکندگی چشمه‌ها اقدام به پنهان‌بندی

می کنیم. سطح زیر منحنی که به دست می آید بیانگر دقت مدل است. هر چه سطح زیر منحنی بیشتر باشد دقت مدل بیشتر است که میزان آن بین ۵/۰ تا ۱ متغیر است (ازدمیر و آلتورال، ۲۰۱۳).

تراکم چشمہ یا نسبت تراکمی^۳ نیز با تقسیم نمودن تراکم چشمہ در رده پتانسیل خاص به تراکم متوسط چشمہها بر مبنای تراکم سطحی و تعداد چشمہ محاسبه می گردد. مقدار نسبت تراکمی مساوی یک برای رده پتانسیل خاص بیانگر آن است که تراکم چشمہ مساوی تراکم چشمہ در کل منطقه است. در صورتی که در منطقه‌ای چند نقشه پتانسیل تهیه شده باشد با استفاده از مقدار جمع کیفی نقشه‌های صحیح تر و با دقت بیشتر را می‌توان شناسایی نمود. مقدار جمع کیفی انحراف مقداری نسبت تراکم برای هر یک از نقشه‌های داده شده از مقدار متوسط یک و جمع مربعات این انحرافات بعد از به کار بردن یک نوع وزن دهی را نشان می‌دهد. جمع کیفی بالاتر بیانگر جدایش بهتر بین رده‌های خطر مختلف است. جمع کیفی به صورت رابطه ۷ تعریف می‌گردد (جی، ۱۹۹۱) :

$$Qs = \sum_{i=1}^n (Dr - 1)^2 \times s \quad [7]$$

که در آن n : تعداد رده‌های پتانسیل در یک نقشه پتانسیل و s : مساحت رده پتانسیل به درصد در منطقه است. از نظر تئوری حد فوچانی خاصی برای جمع کیفی نمی‌توان در نظر گرفت ولی معمولاً مقدار آن بین صفر تا هفت است. هر نقشه پهنه‌بندی که دارای جمع کیفی بالاتر باشد دارای صحت و دقت بیشتری است (شیرانی و سیف، ۱۳۹۰؛ جی، ۱۹۹۱).

نتایج و بحث

نقشه پراکنش چشمہ‌ها، با نقشه‌های عامل‌های تأثیرگذار بر رخداد چشمہ تلفیق شده و تراکم چشمہ‌ها در هر یک از طبقه‌های عامل‌های تأثیرگذار به دست آمد. سپس وزن هر یک از کلاسه‌ها با مدل‌های ارزش اطلاعات و تراکم سطح به دست آمد. نتایج بدست آمده در جدول ۱ ارائه شده است. پس از محاسبه وزن‌ها و ترکیب آن‌ها نقشه پهنه‌بندی پتانسیل چشمہ با بهره‌گیری از مدل‌های ارزش اطلاعات و تراکم سطح به دست آمد که بر اساس شکستگی‌های طبیعی در چهار کلاس کم، متوسط، زیاد و خیلی زیاد طبقه‌بندی شدند (شکل

سطح هر عامل و n تعداد کل عوامل می‌باشد. در نهایت شاخص پتانسیل آب زیرزمینی بدست آمده بر اساس روش شکست طبیعی^۱ به چهار کلاس پتانسیل کم، متوسط، زیاد و خیلی زیاد طبقه‌بندی گردید (داوودی‌مقدم و همکاران، ۱۳۹۲؛ پورقاسمی و همکاران، ۱۳۹۲؛ زارع و همکاران، ۱۳۹۲).

ارزیابی روش‌های پهنه‌بندی پتانسیل چشمه‌ها

در ارزیابی مدل‌ها نمی‌توان از همان چشمه‌هایی استفاده نمود که در پهنه‌بندی (آموزش) استفاده شده‌اند لذا از بین ۹۷ نقطه چشمه موجود در منطقه ۶۸٪ (۶۸ چشمه) برای مدل‌سازی و ۳۰٪ (۲۹ چشمه) نیز برای ارزیابی مورد استفاده قرار گرفت (پرادهان، ۱۴۰۱). سپس با استفاده از منحنی مشخصه عملکرد نسبی و جمع کیفی^۲ صحت نقشه‌های پهنه‌بندی شده ارزیابی شد. منحنی مشخصه عملکرد نسبی از کارآمدترین روش‌ها در ارائه خصوصیات تعیین، شناسایی احتمالات و پیش‌بینی سیستم‌ها است که میزان دقت مدل را به صورت کمی برآورد می‌کند (سوتس، ۱۹۸۸). منحنی مشخصه عملکرد نسبی (ROC) نموداری است که در آن نسبت پیکسل‌هایی که توسط مدل به درستی وقوع یا عدم وقوع چشمه پیش‌بینی شده‌اند (True positive) در برابر مقدار مکمل آن False negative نسبت پیکسل‌هایی که نادرست پیش‌بینی شده‌اند (Positive) ترسیم می‌گردد (کریمی‌سنگ‌چینی و همکاران، ۱۳۹۱). سطح زیر منحنی، بیانگر مقدار پیش‌بینی سیستم از طریق توصیف توانایی آن در تخمین درست وقایع رخداده (وقوع چشمه) و عدم وقوع رخداد (عدم وقوع چشمه) آن است (کروی و همکاران، ۱۴۰۱). برای رسم منحنی مشخصه عملکرد نسبی، قبل از کلاسه‌بندی نقشه وزن نهایی، نقاط چشمه را که برای ارزیابی در نظر گرفته شده روی نقشه انداخته و وزنی که در هر نقطه چشمه به دست آمده را یادداشت کرده (کد ۱) و به همین تعداد نیز نقاطی را به صورت تصادفی در مناطق دیگر انتخاب، و وزن آن‌ها نیز یادداشت می‌شود (کد صفر) (ازدمیر، ۱۴۰۱)، بر اساس روابط موجود برای این روش وزن‌های به دست آمده استاندارد شده و وزن نقاط چشمه به عنوان وزن‌های صحیح در محور عمودی و وزن بقیه نقاط که به صورت تصادفی انتخاب شده بودند را در محور افقی وارد

3- Density Ratio

1- Natural Break

2- Quality Sum

۲ و ۳). این روش طبقه‌بندی براساس گروه‌بندی طبیعی موجود در یک گروه جای داده شوند و تفاوت ما بین کلاس‌ها بیشینه در ذات داده‌ها انجام می‌شود. نقاط شکستگی بین دسته‌ها به شود. گونه‌ای معین می‌شود که به بهترین وجه ممکن مقادیر مشابه

جدول ۱- مقادیر حاصل از ارتباط عوامل مؤثر در وقوع چشم

| عامل | طبقه | کل پیکسل‌ها | درصد فراوانی پیکسل‌ها | تعداد چشم | درصد فراوانی چشم | تعداد چشم به پیکسل‌های هر طبقه | شاخص آماری | تراکم سطح * |
|--------------|-------------------------------------|-------------|-----------------------|-----------|------------------|--------------------------------|------------|-------------|
| سنگ‌شناصی | (سازند درود) Pd | ۴۵۸۵ | ۱/۷ | ۰ | ۰/۰۰ | ۰/۰۰۰۰۰۰۰ | -۵/۵۱ | -۰/۲۵ |
| | (سازند روته) Pr | ۲۰۹۷۲ | ۷/۶۰ | ۱۲ | ۱۷/۶۵ | ۰/۰۰۰۵۷۲ | ۰/۸۴ | ۰/۳۳ |
| | C ^b (سازند باقر آباد) | ۸۴۳۱ | ۳/۰۶ | ۱ | ۱/۴۷ | ۰/۰۰۱۱۹ | -۰/۷۳ | -۰/۱۳ |
| | J ^{mz} (سازند مزدوران) | ۱۰۰۸۲ | ۳/۶۶ | ۱ | ۱/۴۷ | ۰/۰۰۰۹۹ | -۰/۹۱ | -۰/۱۵ |
| | C ^m (سازند مبارک) | ۱۰۷۱۵ | ۳/۸۹ | ۱ | ۱/۴۷ | ۰/۰۰۰۹۳ | -۰/۹۷ | -۰/۱۵ |
| | مخروطه افکنه Q ^{۱۲} (جدید) | ۲۱۳۲۰ | ۷/۷۳ | ۶ | ۸/۸۲ | ۰/۰۰۰۲۸۱ | ۰/۱۳ | ۰/۰۳ |
| | D ^{kh} (سازند خوش بیلاق) | ۵۶۶۴۹ | ۲۰/۵۴ | ۹ | ۱۳/۲۴ | ۰/۰۰۱۵۹ | -۰/۴۴ | -۰/۰۹ |
| | Q ^{al} (رسوبات رودخانه‌ای) | ۲۵۴۲ | ۰/۹۲ | ۲ | ۲/۹۴ | ۰/۰۰۰۷۸۷ | ۱/۱۶ | ۰/۵۴ |
| | K ^u (سازند آبداراز) | ۱۱۸۴ | ۰/۴۳ | ۰ | ۰/۰۰ | ۰/۰۰۰۰۰۰۰ | -۵/۵۱ | -۰/۲۵ |
| | K ^{tr} (سازند تیرگان) | ۳۹۸۲ | ۱/۴۴ | ۲ | ۲/۹۴ | ۰/۰۰۰۵۰۲ | ۰/۷۱ | ۰/۲۶ |
| کاربری اراضی | Q ^{sc} (رسوبات واریزه‌ای) | ۱۲۰۴۸ | ۴/۳۷ | ۸ | ۱۱/۷۶ | ۰/۰۰۰۶۶۴ | ۰/۹۹ | ۰/۴۲ |
| | K ^{sh} (سازند شوریجه) | ۸۱۵۵ | ۲/۹۶ | ۵ | ۷/۳۵ | ۰/۰۰۰۶۱۳ | ۰/۹۱ | ۰/۳۷ |
| | J ^{s1} (سازند شمشک زیرین) | ۴۹۱۸۲ | ۱۷/۸۳ | ۱۰ | ۱۴/۷۱ | ۰/۰۰۰۲۰۳ | -۰/۱۹ | -۰/۰۴ |
| | Q ^{۱۱} (پادگانهای قدیمی) | ۳۴۰ | ۰/۱۲ | ۰ | ۰/۰۰ | ۰/۰۰۰۰۰۰۰ | -۵/۵۱ | -۰/۲۵ |
| | J ^{s۳} (سازند شمشک بالایی) | ۲۸۲۸۲ | ۱۰/۲۶ | ۸ | ۱۱/۷۶ | ۰/۰۰۰۲۸۳ | ۰/۱۴ | ۰/۰۴ |
| | J ^{s۲} (سازند شمشک میانی) | ۳۷۳۰۴ | ۱۳/۵۳ | ۳ | ۴/۴۱ | ۰/۰۰۰۰۸۰ | -۱/۱۲ | -۰/۱۷ |
| | جنگل پهنه برگ | ۲۰۵۲۷۵ | ۷۴/۴۴ | ۴۲ | ۶۱/۷۶ | ۰/۰۰۰۲۰۵ | -۰/۱۹ | -۰/۰۴ |
| | اراضی رها شده | ۱۶۲۲ | ۰/۵۹ | ۱ | ۱/۴۷ | ۰/۰۰۰۶۱۷ | ۰/۹۲ | ۰/۳۷ |
| | مرتع | ۹۰۱۳ | ۳/۲۷ | ۴ | ۵/۸۸ | ۰/۰۰۰۴۴۴ | ۰/۵۹ | ۰/۲۰ |
| | زراعت | ۳۸۲۱۱ | ۱۳/۸۶ | ۱۷ | ۲۵/۰۰ | ۰/۰۰۰۴۴۵ | ۰/۵۹ | ۰/۲۰ |
| fasle | مستحدمات | ۲۱۲۳ | ۰/۷۷ | ۰ | ۰/۰۰ | ۰/۰۰۰۰۰۰۰ | -۵/۵۱ | -۰/۲۵ |
| | برونزدگی سنگی | ۱۲۰۳۳ | ۴/۳۶ | ۳ | ۴/۴۱ | ۰/۰۰۰۲۴۹ | ۰/۰۱ | ۰/۰۰ |
| | جنگل سوزنی برگ طبیعی | ۵۹۰۴ | ۲/۱۴ | ۱ | ۱/۴۷ | ۰/۰۰۰۱۶۹ | -۰/۳۸ | -۰/۰۸ |
| | باغ | ۶۸۸ | ۰/۲۵ | ۰ | ۰/۰۰ | ۰/۰۰۰۰۰۰۰ | -۵/۵۱ | -۰/۲۵ |
| | جنگل سوزنی دست کاشت | ۸۸۶ | ۰/۳۲ | ۰ | ۰/۰۰ | ۰/۰۰۰۰۰۰۰ | -۵/۵۱ | -۰/۲۵ |
| fasle | | ۰-۱۰۰ | ۲۸۸۷۶ | ۱۰/۴۶ | ۱۰ | ۱۴/۷۱ | ۰/۰۰۰۳۴۶ | ۰/۳۴ |
| | | | | | | | ۰/۱۰ | |

مقایسه عملکرد روش های ارزش اطلاعات و ...
Performance comparision of Information Value and ...

| | | | | | | | | |
|---------------|-----------------|--------|-------|----|-------|----------|--------|-------|
| از گسل | ۱۰۰-۲۰۰ | ۲۶۴۶۵ | ۹/۵۹ | ۶ | ۸/۸۲ | ۰/۰۰۰۲۲۷ | -۰/۰۸ | -۰/۰۲ |
| | ۲۰۰-۳۰۰ | ۲۳۵۱۹ | ۸/۵۲ | ۱۲ | ۱۷/۶۵ | ۰/۰۰۰۵۱۰ | -۰/۷۳ | -۰/۲۶ |
| | ۳۰۰-۴۰۰ | ۲۱۲۳۸ | ۷/۷۰ | ۳ | ۴/۴۱ | ۰/۰۰۰۱۴۱ | -۰/۰۶ | -۰/۱۱ |
| | ۴۰۰< | ۱۷۵۸۴۳ | ۶۳/۷۲ | ۳۷ | ۵۴/۴۱ | ۰/۰۰۰۲۱۰ | -۰/۱۶ | -۰/۰۴ |
| | -۰-۱۰۰ | ۴۲۶۲۰ | ۱۵/۵۴ | ۱۶ | ۲۳/۵۳ | ۰/۰۰۰۳۷۵ | -۰/۴۱ | -۰/۱۳ |
| فاصله | ۱۰۰-۲۰۰ | ۳۰۳۸۳ | ۱۱/۰۸ | ۱۴ | ۲۰/۵۹ | ۰/۰۰۰۴۶۱ | -۰/۶۲ | -۰/۲۱ |
| از جاده | ۲۰۰-۳۰۰ | ۲۴۱۱۶ | ۸/۷۹ | ۷ | ۱۰/۲۹ | ۰/۰۰۰۲۹۰ | -۰/۱۶ | -۰/۰۴ |
| | ۳۰۰-۴۰۰ | ۱۸۷۰۰ | ۶/۸۲ | ۲ | ۲/۹۴ | ۰/۰۰۰۱۰۷ | -۰/۱۴ | -۰/۱۴ |
| | ۴۰۰< | ۱۵۸۳۹۷ | ۵۷/۷۶ | ۲۹ | ۴۲/۶۵ | ۰/۰۰۰۱۸۳ | -۰/۳۰ | -۰/۰۶ |
| | -۰-۱۰۰ | ۷۷۲۴۲۵ | ۲۶/۲۶ | ۲۲ | ۳۲/۳۵ | ۰/۰۰۰۳۰۴ | -۰/۲۱ | -۰/۰۶ |
| فاصله | ۱۰۰-۲۰۰ | ۶۱۸۷۵ | ۲۲/۴۴ | ۱۶ | ۲۳/۵۳ | ۰/۰۰۰۲۵۹ | -۰/۰۵ | -۰/۰۱ |
| از رودخانه | ۲۰۰-۳۰۰ | ۴۷۶۶۸ | ۱۷/۲۸ | ۱۱ | ۱۶/۱۸ | ۰/۰۰۰۲۳۱ | -۰/۰۷ | -۰/۰۲ |
| | ۳۰۰-۴۰۰ | ۳۳۲۵۶ | ۱۲/۰۶ | ۹ | ۱۳/۲۴ | ۰/۰۰۰۲۷۱ | -۰/۰۹ | -۰/۰۲ |
| | ۴۰۰< | ۶۰۵۶۸ | ۲۱/۹۶ | ۱۰ | ۱۴/۷۱ | ۰/۰۰۰۱۶۵ | -۰/۴۰ | -۰/۰۸ |
| | لومی- سیلی | ۴۱۰۲۰ | ۱۴/۸۸ | ۱۳ | ۱۹/۱۲ | ۰/۰۰۰۳۱۷ | -۰/۲۵ | -۰/۰۷ |
| | لومی- رسی- سیلی | ۷۳۳۲۸ | ۲۶/۵۹ | ۲۰ | ۲۹/۴۱ | ۰/۰۰۰۲۷۳ | -۰/۱۰ | -۰/۰۳ |
| بافت | لومی | ۸۶۲۶۵ | ۳۱/۲۸ | ۱۵ | ۲۲/۰۶ | ۰/۰۰۰۱۷۴ | -۰/۳۵ | -۰/۰۷ |
| خاک | برونزدگی سنتگی | ۲۶۰۶ | ۱/۳۱ | ۰ | ۰/۰۰ | ۰/۰۰۰۰۰۰ | -۰/۵۱ | -۰/۲۵ |
| | لومی درشت دانه | ۴۸۷۷۲ | ۱۷/۶۹ | ۱۴ | ۲۰/۵۹ | ۰/۰۰۰۲۸۷ | -۰/۱۵ | -۰/۰۴ |
| | لومی- رسی | ۲۲۷۶۹ | ۸/۲۶ | ۶ | ۸/۸۲ | ۰/۰۰۰۲۶۴ | -۰/۰۷ | -۰/۰۲ |
| | ۴۰ | ۷۳۷۱۱ | ۲۶/۷۱ | ۱۰ | ۱۴/۷۱ | ۰/۰۰۰۱۳۶ | -۰/۱۶۰ | -۰/۱۱ |
| طول شیب | ۶۰-۱۲۰ | ۹۶۱۷۵ | ۳۴/۸۵ | ۲۹ | ۴۲/۶۵ | ۰/۰۰۰۳۰۲ | -۰/۲۰ | -۰/۰۶ |
| | ۱۲۰-۱۸۰ | ۵۸۱۱۵۶ | ۲۱/۰۷ | ۱۵ | ۲۲/۰۶ | ۰/۰۰۰۲۵۸ | -۰/۰۵ | -۰/۰۱ |
| | ۱۸۰< | ۴۷۹۱۴ | ۱۷/۳۶ | ۱۴ | ۲۰/۵۹ | ۰/۰۰۰۲۹۲ | -۰/۱۷ | -۰/۰۵ |
| | -۰-۵ | ۸۰۵۷ | ۲/۹۲ | ۰ | ۰/۰۰ | ۰/۰۰۰۰۰۰ | -۰/۵۱ | -۰/۲۵ |
| | ۵-۸ | ۵۶۴۴۶ | ۲/۰۵ | ۰ | ۰/۰۰ | ۰/۰۰۰۰۰۰ | -۰/۵۱ | -۰/۲۵ |
| | ۸-۱۲ | ۸۵۲۱ | ۳/۰۹ | ۶ | ۸/۸۲ | ۰/۰۰۰۷۰۴ | ۱/۰۵ | -۰/۴۶ |
| درصد شیب | ۱۲-۲۰ | ۳۱۴۰۱ | ۱۱/۳۸ | ۸ | ۱۱/۷۶ | ۰/۰۰۰۲۵۵ | -۰/۰۳ | -۰/۰۱ |
| | ۲۰-۳۰ | ۶۱۴۸۶ | ۲۲/۲۸ | ۲۳ | ۳۳/۸۲ | ۰/۰۰۰۳۷۴ | -۰/۴۲ | -۰/۱۳ |
| | ۳۰-۶۰ | ۱۲۷۶۰۹ | ۴۶/۲۴ | ۲۹ | ۴۲/۶۵ | ۰/۰۰۰۲۲۷ | -۰/۰۸ | -۰/۰۲ |
| | ۶۰< | ۳۳۲۳۶ | ۱۲/۰۴ | ۲ | ۲/۹۴ | ۰/۰۰۰۰۶۰ | -۰/۱۴۱ | -۰/۱۹ |
| | مسطح | ۱۸۵۰ | ۰/۶۷ | ۰ | ۰/۰۰ | ۰/۰۰۰۰۰۰ | -۰/۵۱ | -۰/۲۵ |
| | شمال | ۵۲۰۲۷ | ۱۸/۸۵ | ۱۵ | ۲۲/۰۶ | ۰/۰۰۰۲۸۸ | -۰/۱۶ | -۰/۰۴ |
| | شمال شرقی | ۳۲۵۲۰ | ۱۱/۷۸ | ۹ | ۱۳/۲۴ | ۰/۰۰۰۲۷۷ | -۰/۱۲ | -۰/۰۳ |
| | شرق | ۳۳۲۶۴ | ۱۲/۰۵ | ۶ | ۸/۸۲ | ۰/۰۰۰۱۸۰ | -۰/۳۱ | -۰/۰۷ |
| جهت شیب | جنوب شرقی | ۲۵۹۲۸ | ۹/۴۰ | ۷ | ۱۰/۲۹ | ۰/۰۰۰۲۷۰ | -۰/۰۹ | -۰/۰۲ |
| | جنوب | ۱۸۹۰۴ | ۶/۸۵ | ۶ | ۸/۸۲ | ۰/۰۰۰۳۱۷ | -۰/۲۵ | -۰/۰۷ |
| | جنوب غربی | ۲۳۲۶۳ | ۸/۴۳ | ۵ | ۷/۳۵ | ۰/۰۰۰۲۱۵ | -۰/۱۴ | -۰/۰۳ |
| | غرب | ۳۵۲۸۴ | ۱۲/۷۹ | ۸ | ۱۱/۷۶ | ۰/۰۰۰۲۲۷ | -۰/۰۸ | -۰/۰۲ |
| | شمال غربی | ۵۲۹۱۶ | ۱۹/۱۸ | ۱۲ | ۱۷/۶۵ | ۰/۰۰۰۲۲۷ | -۰/۰۸ | -۰/۰۲ |
| انحنای پروفیل | (->۰/۰۰۱) | ۱۳۱۶۹۲ | ۴۸/۳۸ | ۲۶ | ۳۸/۲۴ | ۰/۰۰۰۱۹۷ | -۰/۲۴ | -۰/۰۵ |
| | (۰/۰۰۱-۱۰/۰۰۱) | ۳۳۱۲ | ۱/۲۲ | ۰ | ۰/۰۰ | ۰/۰۰۰۰۰۰ | -۰/۵۲ | -۰/۲۵ |

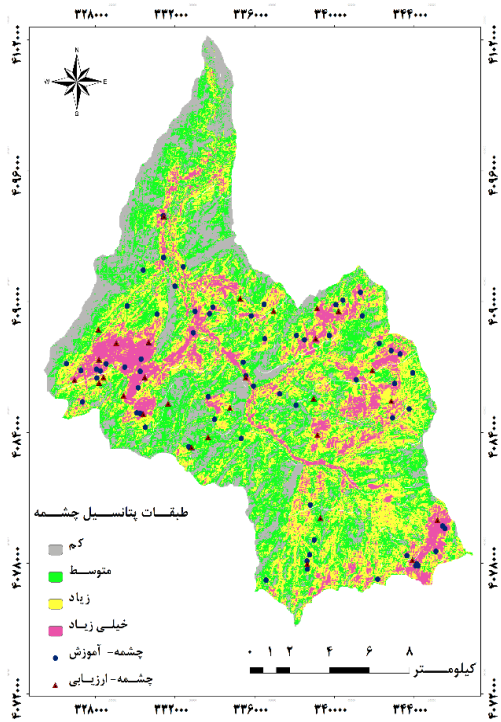
| | (۰/۰۰۱۹) | ۱۳۷۱۷۴ | ۵۰/۴۰ | ۴۲ | ۶۱/۷۶ | ۰/۰۰۳۰۶ | ۰/۲۰ | ۰/۰۶ |
|----------------------|-----------------|--------|-------|----|-------|---------|-------|-------|
| انحنای دشت | مکفر | ۱۲۸۱۷۳ | ۴۶/۴۵ | ۴۲ | ۶۱/۷۶ | ۰/۰۰۳۲۸ | ۰/۲۹ | ۰/۰۸ |
| | صف | ۱۸۴۰۱ | ۶/۶۷ | ۱ | ۱/۴۷ | ۰/۰۰۰۵۴ | -۱/۵۱ | -۰/۱۹ |
| | محدب | ۱۲۹۳۸۲ | ۴۶/۸۹ | ۲۵ | ۳۶/۷۶ | ۰/۰۰۱۹۳ | -۰/۲۴ | -۰/۰۵ |
| شاخص رطوبت توپوگرافی | <۱۰ | ۱۰۴۹۹۴ | ۳۸/۰۵ | ۹ | ۱۳/۲۴ | ۰/۰۰۰۸۶ | -۱/۰۶ | -۰/۱۶ |
| | ۱۰-۱۴ | ۱۵۴۸۸۴ | ۵۶/۱۳ | ۵۷ | ۸۳/۸۲ | ۰/۰۰۳۶۸ | ۰/۴۰ | ۰/۱۲ |
| | ۱۴-۱۸ | ۱۳۲۶۳ | ۴/۸۱ | ۲ | ۲/۹۴ | ۰/۰۰۱۵۱ | -۰/۴۹ | -۰/۱۰ |
| | ۱۸< | ۲۸۱۵ | ۱/۰۲ | ۰ | ۰/۰۰ | ۰/۰۰۰۰۰ | -۵/۵۱ | -۰/۲۵ |
| شاخص قدرت رودخانه | <۴۰۰ | ۱۵۰۲۶ | ۵/۴۵ | ۱ | ۱/۴۷ | ۰/۰۰۰۶۷ | -۱/۳۱ | -۰/۱۸ |
| | ۴۰۰-۸۰۰ | ۱۴۱۶۳ | ۵/۱۳ | ۰ | ۰/۰۰ | ۰/۰۰۰۰۰ | -۵/۵۱ | -۰/۲۵ |
| | ۸۰۰-۱۲۰۰ | ۱۴۶۱۴ | ۵/۳۰ | ۳ | ۴/۴۱ | ۰/۰۰۲۰۵ | -۰/۱۸ | -۰/۰۴ |
| تراکم گسل | ۱۲۰۰< | ۲۲۲۱۵۳ | ۸۴/۱۳ | ۶۴ | ۹۴/۱۲ | ۰/۰۰۲۷۶ | ۰/۱۱ | ۰/۰۳ |
| | <۲ | ۱۶۲۴۸۴ | ۵۸/۸۸ | ۳۶ | ۵۲/۹۴ | ۰/۰۰۲۲۲ | -۰/۱۱ | -۰/۰۲ |
| | ۲-۴ | ۲۴۹۵۵ | ۹/۰۴ | ۱۱ | ۱۶/۱۸ | ۰/۰۰۴۴۱ | ۰/۵۸ | ۰/۱۹ |
| | ۴-۶ | ۲۸۰۹۵ | ۱۰/۱۸ | ۸ | ۱۱/۷۶ | ۰/۰۰۲۸۵ | ۰/۱۴ | ۰/۰۴ |
| تراکم زهکشی | ۶< | ۶۰۴۰۷ | ۲۱/۸۹ | ۱۳ | ۱۹/۱۲ | ۰/۰۰۲۱۵ | -۰/۱۴ | -۰/۰۳ |
| | <۱/۲۵ | ۷۵۹۲۸ | ۲۷/۵۲ | ۱۳ | ۱۹/۱۲ | ۰/۰۰۱۷۱ | -۰/۳۶ | -۰/۰۸ |
| | ۱/۲۵-۲/۵۰ | ۱۱۰۶۷۲ | ۴۰/۱۱ | ۲۴ | ۳۵/۲۹ | ۰/۰۰۲۱۷ | -۰/۱۳ | -۰/۰۳ |
| | ۲/۵۰-۳/۷۵ | ۶۶۰۳۶ | ۲۲/۹۳ | ۲۱ | ۳۰/۸۸ | ۰/۰۰۳۱۸ | ۰/۲۵ | ۰/۰۷ |
| ارتفاع | ۳/۷۵< | ۲۳۳۰۴ | ۸/۴۵ | ۱۰ | ۱۴/۷۱ | ۰/۰۰۴۲۹ | ۰/۵۵ | ۰/۱۸ |
| | ۱۳۴-۵۰۰ | ۳۰۶۶۵ | ۱۱/۱۱ | ۷ | ۱۰/۲۹ | ۰/۰۰۲۲۸ | -۰/۰۸ | -۰/۰۲ |
| | ۵۰۰-۹۰۰ | ۴۱۵۷۹ | ۱۵/۰۷ | ۸ | ۱۱/۷۶ | ۰/۰۰۱۹۲ | -۰/۲۵ | -۰/۰۵ |
| | ۹۰۰-۱۳۰۰ | ۶۵۱۲۷ | ۲۳/۶۰ | ۱۰ | ۱۴/۷۱ | ۰/۰۰۱۵۴ | -۰/۴۷ | -۰/۰۹ |
| | ۱۳۰۰-۱۷۰۰ | ۷۵۱۷۰ | ۲۷/۲۴ | ۲۴ | ۳۵/۲۹ | ۰/۰۰۳۱۹ | ۰/۲۶ | ۰/۰۷ |
| گروه هیدرولوژیکی خاک | ۱۷۰۰-۲۱۰۰ | ۴۸۶۸۸ | ۱۷/۶۴ | ۱۵ | ۲۲/۰۶ | ۰/۰۰۳۰۸ | ۰/۲۲ | ۰/۰۶ |
| | ۲۱۰۰-۲۵۰۰ | ۱۳۰۸۵ | ۴/۷۴ | ۴ | ۵/۸۸ | ۰/۰۰۳۰۶ | ۰/۲۲ | ۰/۰۶ |
| | ۲۵۰۰-۲۸۲۰ | ۱۶۴۲ | ۰/۶۰ | ۰ | ۰/۰۰ | ۰/۰۰۰۰۰ | -۵/۵۱ | -۰/۲۵ |
| | B | ۱۰۹۹۳۶ | ۳۹/۸۶ | ۲۰ | ۲۹/۴۱ | ۰/۰۰۱۸۲ | -۰/۳۰ | -۰/۰۶ |
| تراکم پوشش گیاهی | C | ۱۶۲۲۵۳ | ۵۸/۸۳ | ۴۸ | ۷۰/۵۹ | ۰/۰۰۲۹۶ | ۰/۱۸ | ۰/۰۵ |
| | D | ۲۵۹۴ | ۱/۳۰ | ۰ | ۰/۰۰ | ۰/۰۰۰۰۰ | -۵/۵۱ | -۰/۲۵ |
| | بدون پوشش جنگلی | ۵۱۴۸۰ | ۱۸/۶۶ | ۲۲ | ۳۲/۳۵ | ۰/۰۰۴۲۷ | ۰/۵۵ | ۰/۱۸ |
| | برونزدگی سنگی | ۱۲۵۲۳ | ۴/۵۴ | ۳ | ۴/۴۱ | ۰/۰۰۲۴۰ | -۰/۰۳ | -۰/۰۱ |
| | جنگل متراکم | ۱۰۶۷۵۲ | ۳۸/۷۰ | ۲۰ | ۲۹/۴۱ | ۰/۰۰۱۸۷ | -۰/۲۷ | -۰/۰۶ |
| جنگل متوسط تراکم | جنگل کم تراکم | ۸۴۸۶۴ | ۳۰/۷۷ | ۱۹ | ۲۷/۹۴ | ۰/۰۰۲۲۴ | -۰/۱۰ | -۰/۰۲ |
| | جنگل کم تراکم | ۲۰۱۹۲ | ۷/۳۲ | ۴ | ۵/۸۸ | ۰/۰۰۱۹۸ | -۰/۲۲ | -۰/۰۵ |

* در روش شاخص آماری، تعداد کل چشممهها به جمع کل پیکسلهای منطقه برابر ۰/۰۰۰۲۵ می‌باشد.

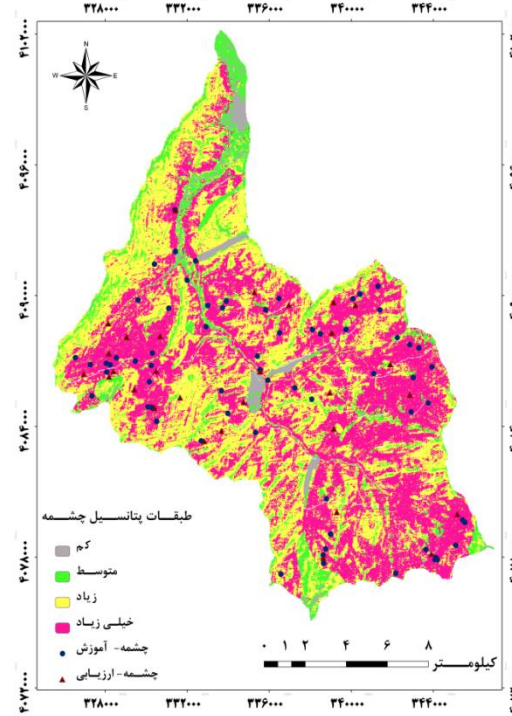
دقت مدل بیشتر است که میزان آن بین ۰/۵ (پیش‌بینی تصادفی نشان داده شده به وسیله خط راست قطری) تا ۱ (پیش‌بینی کامل) متغیر است. به طور کلی تقسیم‌بندی ۰/۹، عالی، ۰/۸-۰/۸ خیلی خوب، ۰/۷-۰/۸ خوب، ۰/۶-۰/۷

به منظور دستیابی به مدل منطقه‌ای مناسب برای حوزه آبخیز قورچای رامیان از شاخص‌های منحنی مشخصه عملکرد نسبی و جمع کیفی استفاده شد. در ارزیابی با منحنی مشخصه عملکرد نسبی زیر سطح زیر منحنی بیشتر باشد

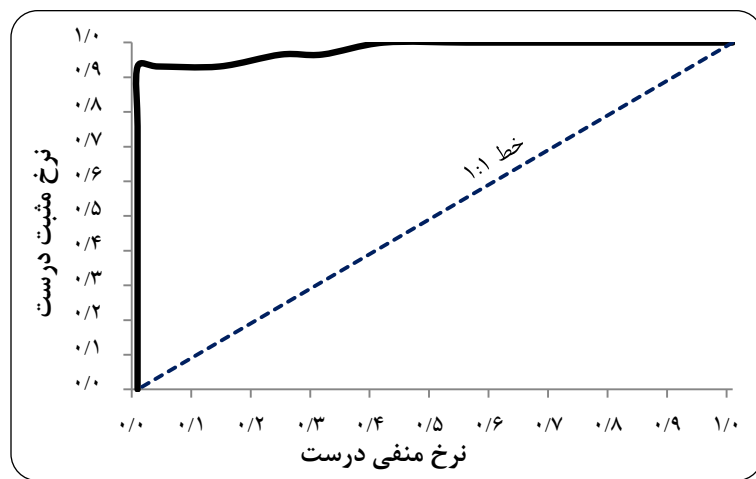
متوجه ۰/۵-۰/۶ ضعیف برای آن ارائه کرده‌اند (اشكل ۴ و ۵). همین طور ارزیابی مدل براساس آماره جمع کیفی نیز در جدول ۲ ارائه شده است.



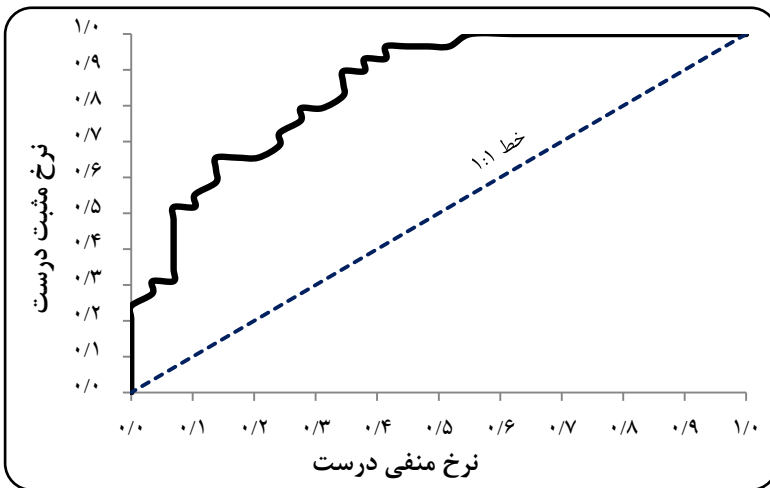
شکل ۳- نقشه پتانسیل چشمه آب زیرزمینی حوزه آبخیز قورچای با استفاده از مدل تراکم سطح



شکل ۲- نقشه پتانسیل چشمه آب زیرزمینی حوزه آبخیز قورچای با استفاده از مدل شاخص آماری



شکل ۴- منحنی مشخصه عملکرد نسبی و سطح زیر منحنی مربوط به نقشه پتانسیل آب زیرزمینی مدل شاخص آماری



شکل ۵- منحنی مشخصه عملکرد نسبی و سطح زیر منحنی مربوط به نقشه پتانسیل آب زیرزمینی مدل تراکم سطح

جدول ۲- ارزیابی روش‌های پهنه‌بندی پتانسیل چشممه آب زیرزمینی با استفاده از جمع کیفی و دقت مدل

| نوع مدل | طبقه پتانسیل | تعداد کل پیکسل‌ها | درصد مساحت | تعداد نقاط چشممه در کلاس | درصد چشممه | نسبت تراکمی (DR-۱۸۲*) | درصد مساحت | جمع کیفی مدل | دقت مدل |
|------------|--------------|-------------------|------------|--------------------------|------------|-----------------------|------------|--------------|---------|
| شاخص آماری | کم | ۷۸۴۳ | ۲/۹۰ | ۰ | ۰/۰۰ | ۰/۰۰ | ۲/۹۰ | | |
| | متوسط | ۳۱۵۴۱ | ۱۱/۶۷ | ۲ | ۶/۹۰ | ۰/۵۹ | ۱/۹۵ | ۰/۴۸۸ | ۹۲/۱۰ |
| | زیاد | ۱۰۹۴۹۹ | ۴۰/۵۰ | ۴ | ۱۳/۷۹ | ۰/۳۴ | ۱۷/۶۱ | | |
| | خیلی زیاد | ۱۲۱۴۶۳ | ۴۴/۹۳ | ۲۳ | ۷۹/۳۱ | ۱/۷۷ | ۲۶/۳۱ | | |
| تراکم سطح | کم | ۵۳۷۲۸ | ۱۹/۸۷ | ۱ | ۳/۴۵ | ۰/۱۷ | ۱۳/۵۸ | | |
| | متوسط | ۹۵۳۵۶ | ۳۵/۲۷ | ۹ | ۳۱/۰۳ | ۰/۸۸ | ۰/۵۱ | ۰/۴۵۹ | ۶۵/۵۲ |
| | زیاد | ۸۴۳۵۰ | ۳۱/۲۰ | ۹ | ۳۱/۰۳ | ۰/۹۹ | ۰/۰۰ | | |
| | خیلی زیاد | ۳۶۹۱۲ | ۱۳/۶۵ | ۱۰ | ۳۴/۴۸ | ۲/۵۳ | ۳۱/۷۸ | | |

می‌باشدند. در مدل تراکم سطح نیز عوامل مؤثر تا حدودی مانند مدل شاخص آماری می‌باشند؛ و عوامل مربوط به تراکم گسل، فاصله از گسل، تراکم زهکشی و سنگ‌شناسی با ارزش 0.044 ، 0.041 ، 0.037 و 0.032 به عنوان مؤثرترین عوامل در وجود چشممه آب زیرزمینی شناخته شده‌اند.

همچنین زیر کلاس‌های سنگ‌شناسی (سازند سنگی رسوبات رودخانه‌ای، رسوبات واریزه‌ای سازند شوریجه و سازند روته)، کاربری اراضی رها شده و زیر کلاس شیب $8-12$ درصد بیشترین ارزش را دارند و از مهم‌ترین عوامل مؤثر بر وجود چشممه می‌باشند.

تجزیه و تحلیل عوامل مؤثر نشان می‌دهد که عمدۀ چشممه‌ها در خاک‌هایی با بافت لومی مشاهده شده‌اند. به طوری که در بافت لومی-رسی-سیلتی، لومی و لومی درشت دانه به ترتیب $29/41$ ، $22/06$ ، $20/59$ درصد چشممه مشاهده

بررسی عوامل تأثیرگذار در ظهور چشممه نشان داد که در مدل شاخص آماری مؤثرترین عوامل در وقوع چشممه عوامل مربوط به سنگ‌شناسی، گسل، رودخانه، کاربری و شیب می‌باشند. در مدل مذکور سنگ‌شناسی و کاربری اراضی تأثیرگذارترین عوامل می‌باشدند که به ترتیب دارای ارزش متوسط 0.23 و 0.17 هستند. همچنین ارزش مربوط به عوامل تراکم گسل، تراکم زهکشی و فاصله از گسل به عنوان عوامل مؤثر و تأثیرگذار به ترتیب برابر 0.12 ، 0.08 و 0.05 می‌باشد. بررسی زیر کلاس‌های مؤثر بر وجود چشممه نیز بیانگر این است که عوامل سنگ‌شناسی (رسوبات رودخانه‌ای، رسوبات واریزه‌ای و سازند شوریجه به ترتیب با ارزش $1/16$ ، $0/91$ و $0/99$) عامل کاربری اراضی (زیر کلاس کاربری اراضی رهاسده با ارزش 0.92) و شیب (زیر کلاس شیب $8-12$ درصد با ارزش $1/05$) از مهم‌ترین عوامل تأثیرگذار بر وجود چشممه

نشان‌دهنده تأثیر قابل ملاحظه گسل در ظهور چشمه (چشمه‌های گسلی) دارد (لی و همکاران، ۲۰۰۶). به طور کلی وزن مربوط به رسوبات رودخانه‌ای که دربرگیرنده آبرفت‌های جوان بستر رودخانه هستند، در روش‌های شاخص آماری و تراکم سطح حداکثر می‌باشد. سازند رسوبات واریزه‌ای و سازند شوریجه که شامل آهک مارنی و مارن آهکی هستند در رده‌های بعدی ارزش قرار دارند. در یک بررسی اجمالی می‌توان چنین بیان داشت که سازندهای سنگی مربوط به دوران سنوزوئیک که در برگیرنده رسوبات آبرفتی و واریزه‌ای جدیدتری می‌باشند پتانسیل آب زیرزمینی بالاتری دارند و ارزش بالاتری نسبت به سایر سازندهای سنگی منطقه در پتانسیل آب زیرزمینی دارند. جاده‌ها بریدگی‌هایی هستند که باعث قطع ارتباط جریانات زیرزمینی می‌گردند در این صورت آبی که قبلًا در زیرزمین جریان داشت با احداث جاده ارتباط میان بالادست و پایین‌دست دامنه قطع و به صورت چشمه ظاهر می‌گردد. عبارت دیگر با ایجاد جاده (به ویژه جاده جنگلی) دامنه کوه از حالت طبیعی خارج می‌شود و با ایجاد شکستگی ناشی از احداث جاده آب زیر سطحی حالت پیوستگی خود را از دست میدهد و در ترانشه جاده چشمه ایجاد می‌شود که تعداد این چشمه‌ها نیز خیلی زیاد می‌باشد. همچنین جاده‌ها به صورت غیرمستقیم بر روی قابلیت نفوذپذیری و تخلخل زمین تأثیرگذار است (داودی‌مقدم، ۲۰۱۳). وقتی جاده ایجاد می‌شود (جاده آسفاته یا خاکی) با وجود این که شبکه کاهش می‌یابد ولی باز هم به دلیل فشردگی جاده نفوذپذیری کاهش و یا زمین غیر قابل نفوذ می‌شود که نمونه باز این تغییرات را می‌توان در تغییر مقادیر اوج جریان و زمان تمرکز جریان مشاهده نمود. با وجود این که جاده سطح ناچیزی از حوزه را شامل می‌شود چون باعث تغییر در شرایط توپوگرافی و هیدرولوژیکی می‌شود اثرات آن بسیار چشمگیر است که می‌توان نمونه چنین نتایجی را در مطالعات پورتی و پورقادسی (۲۰۱۴) و مایدوزسکی (۲۰۰۸) مشاهده نمود. به طور کلی ارزش مربوط به روش‌های شاخص آماری و تراکم سطح در فاصله کمتر از ۲۰۰ متر از جاده حداکثر می‌باشد که نشان‌دهنده نقش مؤثر جاده‌سازی در ظهور چشمه‌ها می‌باشد. بیشتر چشمه‌ها در فاصله کمتر از ۱۰۰ متری رودخانه‌ها می‌باشند (۲۲ چشمه) و مقدار وزن مربوط به کلاس فاصله

شده است. همچنین با در نظر گرفتن تعداد چشمه‌های مشاهده شده در هر بافت خاکی بر اساس مساحت تحت پوشش آن، وزن بافت خاک لومی- سیلتی و لومی درشت دانه دارای بالاترین ارزش می‌باشد. در دامنه‌های شمالی و غربی به دلیل بارندگی و رطوبت بیشتر و درجه حرارت پایین‌تر فراوانی چشمه‌ها بیشتر می‌باشد. همچنین وزن مربوط به روش‌های شاخص آماری و تراکم سطح در جهت‌های جنوب و جهت شمال حداکثر می‌باشد. به لحاظ ارتفاعی بیشترین تعداد ظهور چشمه‌ها مربوط به ارتفاعات میان‌بند می‌باشد و دامنه ارتفاعی ۱۳۰۰-۱۷۰۰ متر و ۲۱۰۰-۲۷۰۰ متری به ترتیب با داشتن ۲۴ و ۱۵ چشمه دارای بالاترین وزن می‌باشند. این روند همان طوری که در نتایج نشان داده شده است نشان‌دهنده نقش بارش در وقوع چشمه می‌باشد زیرا با افزایش ارتفاع میزان بارش بیشتر شده (تا ارتفاع اپتیمم مقدار بارندگی افزایش می‌یابد و از آن ارتفاع به بعد بارندگی کمتر می‌شود) و احتمال وقوع چشمه نیز بیشتر می‌شود اما این روند در ارتفاعات خیلی بالا به علت این که بارش معمولاً به صورت برف بوده و غالباً بودن پدیده یخ‌بندان در بخش بزرگی از سال با توجه به دمای پایین‌ها برف باریده شده به مرور زمان ذوب شده و در این ارتفاعات و ارتفاعات پایین‌تر به صورت چشمه ظاهر می‌شود. بیشترین ارزش روش‌های شاخص آماری و تراکم سطح مربوط به کاربری‌های اراضی رها شده، مرتع و زراعت می‌باشد. در مورد تراکم پوشش گیاهی نیز بیشترین تعداد چشمه در منطقه جنگلی با تراکم متوسط وجود دارد. اگر تراکم پوشش گیاهی خیلی کم باشد در این صورت مقدار بیشتری از بارش به سطح زمین رسیده و بر روی زمین جاری می‌شود در این صورت نفوذپذیری کم می‌شود. با افزایش تراکم پوشش گیاهی، برگاب و ساقاب بیشتر می‌شود و نیز آب جاری شده به حالت فیلتر شده (کاستن سرعت نفوذ و انتقال) به زیر سطح می‌رود و مقدار آب زیرزمینی بیشتر می‌شود. اگر تراکم پوشش گیاهی خیلی زیاد شود با وجود این که مقدار رواناب خیلی کم می‌شود ولی مقدار کمتری از آب باران به سطح زمین می‌رسد و عمدتاً توسط تاج پوشش گیاهی جذب شده و توسط تبخیر و تعرق به اتمسفر باز می‌گردد. بیشترین فراوانی و وزن مربوط به عوامل مربوط به فاصله از گسل و تراکم گسل مربوط به مناطقی با فاصله کمتر از ۳۰۰ متر از گسل و تراکم گسل ۲> می‌باشد که

آب زیرزمینی مساعدتر می‌باشد (مناب، ۲۰۱۴). در مناطقی با شاخص رطوبت توپوگرافیکی کمتر از ۱۴ در حدود ۶۶ چشمۀ مشاهده شده است و وزن مربوط به این شاخص در کلاس ۱۴-۱۰ حداکثر می‌باشد. شاخص قدرت رودخانه مقیاسی از قدرت فرسایشی جریان آب می‌باشد (پورقاسی و همکاران، ۲۰۱۳). نتایج نشان داد هر چه مقدار این شاخص بیشتر باشد تعداد چشمۀ‌های بیشتری در منطقه ایجاد می‌گردد؛ لذا در مناطق پرشیب و اطراف و رودخانه‌های اصلی چشمۀ‌های بیشتری دیده می‌شود که می‌تواند ناشی از این عامل باشد؛ وزن مربوط به این شاخص در مناطقی با شاخص قدرت رودخانه بیشتر از ۱۲۰۰ متر حداکثر می‌باشد. بررسی عامل مربوط به گروه هیدروژئیکی خاک نیز نشان داد که گروه هیدروژئیکی C با داشتن ۴۸ چشمۀ و گروه هیدروژئیکی B نیز با ۲۰ چشمۀ بالاترین ارزش را دارند که با نتایج مطالعات داوودی مقدم و همکاران، (۲۰۱۳) در این زمینه مطابقت دارد. نتایج مربوط به نقشه‌های استخراجی پتانسیل چشمۀ آب زیرزمینی ایجاد شده بر اساس مدل‌های شاخص آماری و تراکم سطح نشان می‌دهد که در مدل شاخص آماری در حدود ۲/۹ درصد منطقه پتانسیل آب زیرزمینی پایین، ۱۱/۶۷ درصد پتانسیل متوسط، ۰/۴۰۵۰٪ منطقه پتانسیل بالا و ۰/۴۴۹۳٪ پتانسیل خیلی بالای دارد. همچنین این مقادیر در مدل تراکم سطح از ۰/۸۷، ۰/۲۷ و ۰/۲۰ درصد متغیر است. نتایج ارزیابی مدل‌ها نشان داد که مقدار سطح زیر منحنی برای مدل شاخص آماری (۰/۹۸۱) بالاتر از مدل تراکم سطح (۰/۸۵۱) می‌باشد. این در حالی است که مقدار انحراف معیار مدل ارزش اطلاعات (۰/۰۱۵) کمتر از مدل تراکم سطح (۰/۰۴۹) می‌باشد (شکل ۴ و ۵). با توجه به منحنی مشخصه عملکرد نسبی بدست آمده مدل شاخص آماری دارای دقت عالی و مدل تراکم سطح دارای دقت خیلی خوب هستند. بنابراین مدل شاخص آماری کارایی بهتری نسبت به مدل تراکم سطح در شناسایی مناطق پتانسیل چشمۀ منطقه مورد مطالعه دارد. و کاربرد آن در مناطقی که شرایط نسبتاً مشابه با منطقه مورد مطالعه دارند پیشنهاد می‌شود. بنابراین این روش به لحاظ انطباق بالای چشمۀ‌ها با مناطق پتانسیل بالا و خیلی بالا و همچنین توانایی در تفکیک کلاس‌های پتانسیل در منطقه مورد پژوهش کارایی مناسبی در تهیه نقشه پتانسیل چشمۀ آب زیرزمینی دارد. برای دستیابی

۰-۱۰۰ متری از رودخانه حداکثر می‌باشد (داودی-مقدم، ۲۰۱۳؛ پورقاسی و بهشتی‌راد، ۲۰۱۴). تراکم زهکشی منعکس‌کننده زمین‌شناسی و ساختمان هر منطقه‌ای است و در ارزیابی منابع آب زیرزمینی آن منطقه ارزش زیادی دارد (گودلبو، ۲۰۰۵). تراکم زهکشی نیز نقشی هم سو با فاصله از رودخانه دارد. هر چقدر که تراکم شبکه زهکشی بیشتر باشد مقدار ارزش روش‌های شاخص آماری و تراکم سطح نیز بیشتر می‌شود. بنابراین مقدار ارزش مربوطه در تراکم بیشتر از ۳/۷۵ می‌شود. حداکثر می‌باشد و با کاهش تراکم زهکشی این مقادیر کاهش می‌یابند (مناب و همکاران، ۲۰۱۴). بیشتر چشمۀ‌ها در طول شیب ۰-۱۲۰ متری (۲۹ چشمۀ) و بیشتر از ۱۲۰ متر مشاهده شده است و مقدار ارزش این دو کلاس در روش‌های شاخص آماری و تراکم سطح بیشترین می‌باشد. در ارتباط با درصد شیب بیشترین مقدار چشمۀ‌ها در شیب ۳۰-۶۰ و ۲۰ مشاهده شده است (۲۹ و ۲۳ چشمۀ). همچنین در شیب‌های پایین (زیر ۸ درصد) هیچ چشمۀ‌ای مشاهده نشده است که نشان‌دهنده احتمال پایین چشمۀ در این شیب‌ها دارد (پورقاسی، ۲۰۱۴). با در نظر گرفتن مساحت هر کلاس مقادیر ارزش کلاس‌های شیب ۸-۱۲ و ۲۰-۳۰ در دو روش شاخص آماری و تراکم سطح حداکثر می‌باشد (داودی-مقدم، ۲۰۱۳). بررسی انحنای پروفیل نشان می‌دهد که پروفیل‌های مقرر (<۰/۰۰۱) با داشتن ۶۱/۷۶ درصد چشمۀ‌ها و پروفیل‌های محدب (۰/۰۰۱->) با داشتن ۴۸/۳۸ درصد چشمۀ‌ها به ترتیب بیشتری وزن را دارند و در مناطق با انحنای پروفیل صاف (۰/۰۰۱) تا (-۰/۰۰۱) هیچ چشمۀ‌ای مشاهده نشده است. نتایج حاصل از انحنای دشت نیز نشان می‌دهد که بیشترین ارتباط این عامل با موقع چشمۀ در شکل درصد چشمۀ‌ها به ترتیب بیشتری مقدار ۶۱/۷۶ درصد چشمۀ‌ها در دامنه‌های انحنای پروفیل صاف (۰/۰۰۱) تا (-۰/۰۰۱) هیچ چشمۀ‌ای مشاهده نشده است. نتایج حاصل از انحنای دشت نیز نشان می‌نماید که مقدار سطح زیر منحنی برای مدل شاخص آماری (۰/۰۰۱) بالاتر از مدل تراکم سطح (۰/۰۰۱) می‌باشد. این در حالی است که مقدار انحراف معیار مدل ارزش اطلاعات (۰/۰۱۵) کمتر از مدل تراکم سطح (۰/۰۴۹) می‌باشد (شکل ۴ و ۵). با توجه به منحنی مشخصه عملکرد نسبی بدست آمده مدل شاخص آماری دارای دقت عالی و مدل تراکم سطح دارای دقت خیلی خوب هستند. بنابراین مدل شاخص آماری کارایی پتانسیل چشمۀ منطقه مورد مطالعه دارد. در دامنه‌های مقرر تمرکز جریان آب زیر زمینه مطابقت دارد. در دامنه‌های مقرر دست دامنه‌ها آب را قشری در پایین دست دامنه بیشتر بوده و این دامنه‌ها آب را برای دوره زمانی طولانی‌تری به‌ویژه در طول بارش‌های سنگین حفظ می‌کنند که این افزایش رطوبت باعث افزایش احتمال حضور چشمۀ در این دامنه‌ها می‌گردد (لی و پرادهان، ۲۰۰۶). بنابراین شیب‌های مقرر در مقایسه با شیب‌های محدب برای

- شیرانی، ک.، و سیف، ع.، ۱۳۹۰. پهنه‌بندی خطر زمین‌لغزش با استفاده از روش‌های آماری (منطقه پیشکوه، شهرستان فریدون شهر)، مجله علوم زمین، جلد ۲۲، شماره ۸۵، ۱۵۸-۱۴۹.
- کریمی، ح.، نادری، ف.، مرشدی، الف.، و نیک سرشت، مهدی. ۱۳۹۰. پهنه‌بندی خطر زمین‌لغزش در حوضه آبخیز چرداول ایلام با استفاده از سیستم اطلاعات جغرافیایی (GIS)، زمین‌شناسی کاربردی، جلد ۷، شماره ۳۳۲، ۴-۳۱۹.
- کریمی سنگ‌چینی، الف.، اونق، م.، و سعدالدین، الف.، ۱۳۹۱. مقایسه کارابی ۴ مدل کمی و نیمه‌کمی پهنه‌بندی خطر زمین‌لغزش در حوضه آبخیز چهلچای، استان گلستان، مجله پژوهش‌های حفاظت آب و خاک، جلد ۱۹، شماره ۱، ۱۹۶-۱۸۳.
- صابری، ع.، رنگز، ک.، مهجوی، ر.، و کشاورزی، م. ر.، ۱۳۹۱. پتانسیل یابی منابع آب زیرزمینی با تأثیرگذاری سنجش از دور و GIS به روش تحلیل سلسه مراتبی (AHP) در تاقدیس کهستان استان خوزستان. مجله زمین‌شناسی کاربردی پیشرفت، جلد ۱، شماره ۶، ۲۰-۱۱.
- عرفانیان، م.، فرج‌اللهی، ۵. سوری، م.، و شیرزادی، ع.، ۱۳۹۲، تهیه نقشه پتانسیل چشمی آب زیرزمینی با استفاده از مدل نسبت فراوانی در حوزه آبخیز چهل‌گزی، استان کردستان، دومین همایش ملی توسعه پایدار کشاورزی و محیط زیست سالم، همدان.
- Arkoprovo, B., Adarsa, j., Prakash, S.S., 2012. Delineation of Groundwater Potential Zones using Satellite Remote Sensing and Geographic Information System Techniques, A Case study from Ganjam district, Orissa, India. Research Journal of Recent Sciences, 1(9), 59-66.*
- Ayalew, L., Yamagishi, H., 2005. The application of GIS-based logistic regression for landslide susceptibility mapping in the Kakuda-Yahiko Mountains, Central Japan. Geomorphology, 65(1-2), 15-31.*
- Beven, K., Freer, J., 2001. A dynamic TOPMODEL. Hydrological Processes, 15(10), 1993-2011.*
- Cervi, F., Berti, M., Borgatti, L., Ronchetti, F., Manenti, F., Corsini, A., 2010. Comparing predictive capability of statistical and deterministic methods for landslide susceptibility mapping: a case study in the northern Apennines (Reggio Emilia Province, Italy). Landslides, 7(4), 433-444.*

به مدل مناسب در منطقه از روش‌های جمع کیفی و دقت مدل نیز استفاده گردید. بر اساس این روش ارزیابی نیز روش شاخص آماری با مقدار جمع کیفی ۰/۴۸۸ و دقت ۹۳/۱ نسبت به مدل تراکم سطح با جمع کیفی ۰/۴۵۹ و دقت ۶۵/۵۲ دقت بالاتری دارد.

نتیجه‌گیری

در این تحقیق کارایی دو مدل شاخص آماری و تراکم سطح در پهنه‌بندی پتانسیل چشمی‌های حوزه آبخیز قورچای استان گلستان در محیط ArcGIS 9.3 با استفاده از ۱۸ پارامتر مؤثر بر روی وقوع چشمی مورد ارزیابی قرار گرفت. برای این منظور نقشه ۱۸ عامل مؤثر بر وقوع چشمی در محیط ArcGIS 9.3 تهیه و طبقه‌بندی شد. نقشه پراکنش چشمی‌ها، با نقشه‌های عامل‌های تأثیرگذار بر رخداد چشمی تلفیق شده و تراکم چشمی در هر یک از طبقه‌های عامل‌های تأثیرگذار به دست آمد. سپس وزن هر یک از کلاسه‌ها تعیین و با استفاده از مدل‌های شاخص آماری و تراکم سطح با یکدیگر ترکیب شد و در نهایت نقشه پهنه‌بندی چشمی منطقه مورد مطالعه با استفاده از دو مدل مذکور تهیه شد. ارزیابی مدل‌ها نشان داد که به ترتیب منحنی مشخصه عملکرد نسبی و جمع کیفی در مدل شاخص آماری با مقادیر ۰/۹۸۱ و ۰/۴۸۸ نسبت به مدل تراکم سطح با مقادیر ۰/۸۵۱ و ۰/۴۵۹ برای پهنه‌بندی منابع چشمی‌ها در این محدوده مناسب‌تر است. همچنین بر اساس مدل شاخص آماری و تراکم سطح به ترتیب ۰/۹۴۱ و ۰/۶۵۵ نسبت به مدل محدوده مورد مطالعه استعداد بالا و خیلی بالایی برای وقوع چشمی دارند. به طور کلی نقشه پتانسیل آب زیرزمینی تهیه شده می‌تواند با توجه به خشکسالی‌های اخیر و روند رو به رشد جمعیت، بحران آبی به مدیران و مهندسان در طرح‌های توسعه آب زیرزمینی، مدیریت منابع آب، مدیریت منابع طبیعی، آمایش سرزمین و برنامه‌ریزی کاربری اراضی کمک نماید.

منابع

- جوکار، ع.، خلامی، و.، و آنامرادنژاد، ر.، ۱۳۸۸. مقایسه عوامل مؤثر در آبدهی چشمی‌های کارستی و آبرفتی (مطالعه موردی استان مازندران)، «مجله علوم کشاورزی و منابع طبیعی گرگان»، جلد ۱۶، شماره ۲، ۲۰۰-۲۰۴.

- probabilistic-based frequency ratio model in groundwater potential mapping using remote sensing data and GIS.* Arabian Journal of Geosciences, 7(2), 711-724.
- Mioduszewski, W., 2008. *Impact of a road crossing on groundwater level in a river valley.* Journal of Water and Land Development, 12, 49-58.
- Moore, I.D., Burch, G.J., 1986. *Sediment transport capacity of sheet and rill flow: application of unit stream power theory.* Water Resources Research, 22(8), 1350-1360.
- Moore, I.D., Grayson, R.B., Ladson, A.R., 1991. *Digital terrain modeling: a review of hydrological, geomorphological, and biological applications.* Hydrological Processes, 5(1), 3-30.
- Naghibi, S.A., Pourghasemi, H.R., 2014. *A Comparative Assessment between Three Machine Learning Models and Their Performance Comparison by Bivariate and Multivariate Statistical Methods in Groundwater Potential Mapping.* Water Resources Management, 29(14), 5217-5236.
- Naghibi, S.A., Pourghasemi, H.R., Pourtaghi, Z.S., Rezaei, A., 2014. *Groundwater qanat potential mapping using frequency ratio and Shannon's entropy models in the Moghan watershed, Iran.* Earth Science Informatics, 8(1), 171-186.
- Ozdemir, A., 2011. *GIS-based groundwater spring potential mapping in the Sultan Mountains (Konya, Turkey) using frequency ratio, weights of evidence and logistic regression methods and their comparison.* Journal of Hydrology, 411(3-4), 290-308.
- Ozdemir, A., Altural, T., 2013. *A comparative study of frequency ratio, weights of evidence and logistic regression methods for landslide susceptibility mapping: Sultan Mountains, SW Turkey.* Journal of Asian Earth Sciences, 64, 180-197.
- Poudyal, C.P., Chang, C., Oh, H.J., Lee, S., 2010. *Landslide susceptibility maps comparing frequency ratio and artificial neural networks: a case study from the Nepal Himalaya.* Environmental Earth Sciences, 61(5), 1049-1064.
- Pourghasemi, H.R., Beheshtirad, M., 2014. *Assessment of a data-driven evidential belief function model and GIS for groundwater potential mapping in the Koohrang Watershed, Iran.* Geocarto International, 30(6), 662-685.
- Pourghasemi, H.R., Moradi, H.R., Fatemi Aghda, S.M., 2013. *Landslide susceptibility mapping by binary logistic regression, analytical hierarchy process, and statistical index models and assessment of their performances.* Natural Hazards, 69(1), 749-779.
- Pourtaghi, Z.S., Pourghasemi, H.R., 2014. *GIS-based groundwater spring potential assessment and mapping in the Birjand Township, southern Khorasan Province, Iran.* Hydrogeology, 22(3), 643-662.
- Pradhan, B., 2010. *Remote sensing and GIS-based landslide hazard analysis and cross validation using multivariate logistic regression model on*
- Constantin, M., Bednarik, M., Jurchescu, M.C., Vlaicu, M., 2011. *Landslide susceptibility assessment using the bivariate statistical analysis and the index of entropy in the Sibiciu Basin (Romania).* Environmental Earth Sciences, 63, 397-406.
- Dar, I.A., Sankar, K., Dar, M.A., 2010. *Remote sensing technology and geographic information system modeling: An integrated approach towards the mapping of groundwater potential zones in Hardrock terrain, Mamundiyan basin.* Journal of Hydrology, 394, 285-295.
- Davoodi Moghaddam, D., Rezaei, M., Pourghasemi, H.R., Pourtaghie Z.S., Pradhan, B., 2013. *Groundwater spring potential mapping using bivariate statistical model and GIS in the Taleghan Watershed, Iran.* Arabian Journal of Geosciences, 1866-7511. DOI: 10.1007/s12517-013-1161-5.
- Gee, M.D., 1991. *Classification of landslide hazard zonation methods and a test of predictive capability,* Landslides, Bell (ed.), Balkema, Rotterdam, 947-952.
- Godebo, T.R., 2005. *Application of remote sensing and GIS for geological investigation and groundwater potential zone identification, Southeastern Ethiopian Plateau, Bale Mountains and the surrounding areas.* Addis A Baba University, Dissertation, Faculty of Natural Science Department of Earth Sciences, 98 p.
- Hammouri, N., El-Naqa A., Barakat, M., 2012. *An Integrated Approach to Groundwater Exploration Using Remote Sensing and Geographic Information System.* Journal of Water Resource and Protection, 4(9), 717-724.
- He, S., Pan, P., Dai, L., Wang, H., Liu, J., 2012. *Application of kernel-based Fisher discriminant analysis to map landslide susceptibility in the Qingshan River delta, Three Gorges, China,* Geomorphology, 171-172, 30-41.
- Jeyaprabha, R., Revathy, S.S., Sureshbabu, S., 2014. *Study on Landuse Pattern to Evaluate Groundwater Potential Zone for Bengaluru Urban Area Using RS &GIS Techniques.* International Journal of Computer Science and Information Technologies, 5(2), 1213-1218.
- Kaliraj, S., Chandrasekar N., Magesh, N.S., 2014. *Identification of potential groundwater recharge zones in Vaigai upper basin, Tamil Nadu, using GIS-based analytical hierarchical process (AHP) technique.* Arabian Journal of Geosciences, 7(4), 1385-1401.
- Lee, S., Pradhan, B., 2006. *Probabilistic landslide hazards and risk mapping on Penang Island, Malaysia.* Journal of Earth System Science, 115(6), 661-667.
- Lee, S., K.Y. Song, Y. Kim and I. Park, 2012. *Regional groundwater productivity potential mapping using a geographic information system (GIS) based artificial neural network model.* Hydrogeology Journal, 20(8), 1511-1527.
- Manap, M.A., Nampak, H., Pradhan, B., Lee, S., Sulaiman W.N.A., Ramli, M.F., 2014. *Application of*

- Yeh, H.F., Lee, C.H., Hsu, K.C., Chang, P.H., 2008. GIS for the assessment of the groundwater recharge potential zone. *Environ. Environmental Geology*, 58(1), 185-195.
- Yin, K.J., Yan, T.Z., 1988. Statistical prediction model for slope instability of metamorphosed rocks. *Proceedings 5th International Symposium on Landslides, Lausanne, Switzerland*, 2, 1269-1272.
- Zare, M., Pourghasemi, H.R., Vafakhah M., Pradhan, B., 2013. Landslide susceptibility mapping at Vaz Watershed (Iran) using an artificial neural network model: a comparison between multilayer perceptron (MLP) and radial basic function (RBF) algorithms. *Arabian Journal of Geosciences*, 6(8), 2873-2888.
- three test areas in Malaysia. *Advances in space research*, 45(10), 1244-1256.
- Rautela, P., Lakhera, R.C., 2000. Landslide risk analysis between Giri and Ton Rivers in Himalaya (India). *International Journal of Applied Earth Observation and Geo information*, 2(3-4), 153-160.
- Sajjad, H., Iqbal, M., Bhat, F.A., 2014. Integrating Geospatial and Geophysical Information for Deciphering Groundwater Potential Zones in Dudhganga Catchment, Kashmir Valley, India. *American Journal of Water Resources*. 2(1): 18-24.
- Swets, J. A., 1988. Measuring the accuracy of diagnostic systems. *Science*, 240, 1285-93.
- Wischmeier, W.H., Smith, D.D., 1978. Predicting Rainfall Erosion Losses: A Guide to Conservation Planning, U.S. Department of Agriculture, Agriculture Handbook. No. 537.